

การหาสัมประสิทธิ์การดูดซับเสียงของวัสดุโดยใช้ท่อแบบคลื่นยืน Evaluation of Acoustic Absorption Coefficient of Materials Using a Standing Wave Tube

มิง โลกิตังตอง^{1,2*} และ พงษ์ศักดิ์ คำมูล¹

¹ ภาควิชาวิศวกรรมเครื่องกล คณะวิศวกรรมศาสตร์ และ ²สำนักวิจัยการสื่อสารและเทคโนโลยีสารสนเทศ
สถาบันเทคโนโลยีพระจอมเกล้าเจ้าคุณทหารลาดกระบัง กรุงเทพฯ 10520

โทร 0-2326-4197 โทรสาร 0-2326-4198 *อีเมล์ klming@kmitl.ac.th

Ming Lokitsangtong^{1,2*}, and Pongsak Kummol¹

¹Department of Mechanical Engineering, Faculty of Engineering, and ²Research Center for Communications and
Information Technology, King Mongkut's Institute of Technology Ladkrabang, Bangkok 10520

Tel: 0-2326-4197, Fax: 0-2326-4198, * E-mail: klming@kmitl.ac.th

บทคัดย่อ

บทความนี้นำเสนอวิธีหนึ่งสำหรับวัดความหน่วงเหนี่ยวทางเสียง จำเพาะหรือสัมประสิทธิ์การดูดซับของวัสดุด้านเสียงโดยใช้ท่อคลื่นยืน หรือท่อความหน่วงเหนี่ยว การออกแบบอุปกรณ์และวิธีทดสอบเป็นไปตามมาตรฐานของ ASTM หมายเลขอ 384-90a กล่าวคือ ท่อตรงซึ่งมีผนังท่อแข็งพร้อมด้วยตัวลำโพงเสียงและชิ้นงานวัสดุวางอยู่ที่ปลายสุด ของท่อ วัสดุที่นำมาทดสอบเป็นวัสดุที่ใช้กันทั่วไป ได้แก่ แก้ว คอนกรีต และอื่นๆ ซึ่งมีความหนาต่างๆ โดยทดสอบที่ความถี่ 125, 250, 500, 1000, 2000 และ 4000Hz และค่าสัมประสิทธิ์การดูดซับเสียงที่วัดได้ก็นำไปเปรียบเทียบกับแหล่งข้อมูลที่มีอยู่ในห้องทดลอง เป็นที่มั่นใจได้ว่า อุปกรณ์ที่ออกแบบและสร้างขึ้นมาเองนี้สามารถนำไปใช้หาค่า สัมประสิทธิ์การดูดซับเสียงสำหรับวัสดุอื่นๆ ที่หาข้อมูลไม่ได้

Abstract

This paper presents a method for measuring the specific acoustic impedance or absorption coefficient of acoustic material using a standing wave or impedance tube. The design of the apparatus and test method conform with the ASTM standard designation C384-90a – a straight solid-wall tube with a speaker and a material specimen perpendicularly mounted at the terminating end. Three common materials i.e., glass, concrete, and bricks with different thickness were tested at frequency of 125, 250, 500, 1000, 2000, and 4000 Hz. The obtained values for acoustic absorption coefficient are then compared with the data

source available in the market. It has been assured that this in-house designed and constructed apparatus could be employed to evaluate acoustic absorption coefficient for other materials with unavailable data.

1. บทนำ

ในปัจจุบันก็ได้ของการควบคุมทางเดินของเสียง ที่ใช้กันทั่วไปคือ การควบคุมแบบรับสนอง (passive control) โดยใช้ตัวดูดซับ เช่น โฟมไปลี่ย์เรเนนอย่างพรุน ผนังกันเสียงเนื้อแน่น หรือระบบตัวดูดซับ กับผนังกันแบบหลายแผ่นชั้น การนำบัดทางเสียงเหล่านี้สามารถออกแบบให้สามารถพัฒนาเสียงภายในตัวโครงสร้าง หรือส่งผ่าน พลังงานเสียงต่อกำแพงผ่านตัวโครงสร้าง การลดเสียงภายในตัวโครงสร้างแบบพรุน เรียกว่า การดูดซับเสียง และเกิดขึ้น เพราะเสียงถูกเปลี่ยนเป็นพลังงานความร้อนที่มีปริมาณน้อยๆ เมื่อเสียงถูกขับผ่านจากผู้พูดหนึ่งไปสู่ผู้ฟังหนึ่ง การดูดซับเสียงเป็นองค์ประกอบที่สำคัญมากอันหนึ่ง เมื่อต้องการออกแบบระบบนำบัดเสียงที่ต้องอาศัยวัสดุพรุน สัมประสิทธิ์การดูดซับเสียงตามค่าที่กำหนด ตัวร่วมของปริมาณพลังงานเสียงคือ ดูดซับเสียงทางวัสดุนั้น ซึ่งจะมีค่าระหว่าง 0 และ 1

วิธีทดลองหาสัมประสิทธิ์การดูดซับเสียงที่นิยมใช้กันอยู่มีสองวิธี คือ การใช้ห้องกว้าง (reverberation chamber) และการใช้ไมโครโฟน ส่องด้วย [1] แต่ทั้งสองวิธีดังกล่าวจะมีค่าใช้จ่ายค่อนข้างสูง วิธีท่อแบบคลื่นยืน (standing wave) หรือ วิธีท่อความหน่วงเหนี่ยว (impedance)

เป็นอีกวิธีเลือกหนึ่งซึ่งไม่สูงมากและลงทุนไม่มาก ในการศึกษานี้จะได้นำเสนอแนวทางการออกแบบ สร้าง และทดลองโดยวิธีนี้ตาม มาตรฐานสากล [2] ที่ใช้กันอยู่

2. วิธีที่ออกแบบคลื่นยืน

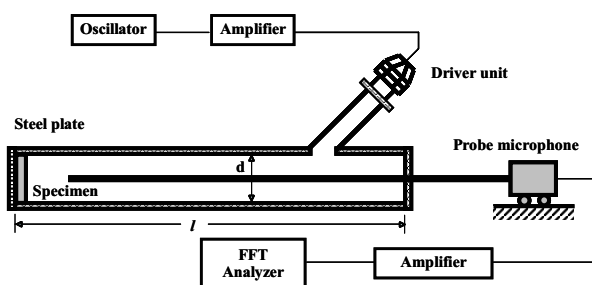
2.1 อุปกรณ์ทดลอง

ท่อแบบคลื่นยืนประกอบด้วยท่อทำจากพลาสติกแข็งหนา 5 มม ภาคตัดขวางภายในเป็นรูปสี่เหลี่ยมจัตุรัสขนาด 40 มม x 40 มม ความยาวรวมของท่อ 2250 มม มาตรฐาน [2] ได้กำหนดความถี่ขีดบนและขีดล่างดังสมการ (1) และ (2) ตามลำดับดังนี้

$$f < 0.500 c/d \quad (1)$$

$$3 c/4f < l - d \quad (2)$$

เมื่อ d คือ ขนาดที่ใหญ่กว่าของภาคตัดสี่เหลี่ยมผืนผ้าของท่อ (เมตร) c คือ ความเร็วของเสียง (340 เมตรต่อวินาที) และ l คือ ความยาวท่อ (เมตร) เพราะฉะนั้นในที่นี้ ความถี่ขีดบนและขีดล่างของท่อแบบคลื่นยืน ท่อออกแบบไว้เป็น 4250 Hz (>4000Hz) และ 115 Hz (<125Hz)

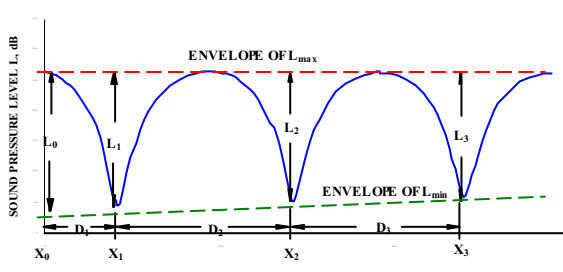


รูปที่ 1 การติดตั้งชุดอุปกรณ์ท่อแบบคลื่นยืน

ตามลำดับ เสียงถูกส่งผ่านเข้าไปในท่อทางท่อเรียงที่ปลายหนึ่ง ส่วนปลายอีกด้านหนึ่ง จะวางขึ้นทดสอบไว้ โดยมีแผ่นเหล็กหนาติดตั้งอยู่ด้านหลัง สัญญาณของคลื่นยืนภายในท่อสามารถจับได้จากท่อตรวจวัด (probe tube) ซึ่งมีไมโครโฟนอยู่ภายนอกท่อ ดังแสดงในรูปที่ 1

2.2 หลักการของวิธี

เมื่อน้ำเสียงบริสุทธิ์ (pure tone) แผ่กระจายไปในท่อ ซึ่งปลายของท่อมีวัสดุที่มีค่าความหน่วงเหนี่ยวค่าหนึ่งปิดกันไว้ จะเกิดคลื่นเสียงไป



รูปที่ 2 การเปลี่ยนแปลงระดับความดันเสียงของคลื่นยืน

ตามท่ออยู่ในรูปคลื่นที่มีค่าระดับความดันเสียงสูงสุดและต่ำสุด วางแผนกันอย่างปกติ ดังแสดงในรูปที่ 2 [2] ค่าสูงสุด L_{max} จะมีระดับคงที่ แต่ค่าต่ำสุดจะมีระดับเพิ่มขึ้น เมื่อห่างออกไปจากผิวขั้นงาน โดยอาศัยการปรับเทียบค่าต่ำสุดสองอันแรก ระดับความดันเสียงต่ำสุด L_{min} ที่ผิวขั้นทดสอบก็สามารถหาได้ อัตราส่วนคลื่นยืน (standing wave ratio) L_0 จะคำนวณได้จากสมการ

$$L_0 = L_{max} - L_{min} \quad (3)$$

ซึ่งค่านี้จะนำไปใช้คำนวณหาสัมประสิทธิ์การดูดซับเสียงและอัตราส่วนความหน่วงเหนี่ยวต่อไป

3. การวัดและการคำนวณ

3.1 สัมประสิทธิ์การดูดซับเสียง

สำหรับของเสียงภายในท่อ วัดได้ด้วยท่อตรวจติดตั้งกับไมโครโฟน ซึ่งวางอยู่ข้างนอกท่อ ตำแหน่งของท่อตรวจวัดใช้มั่บรวมทั้งด้านนอกท่อเป็นตัววัด เนื่องจากสำหรับเสียงจะถูกบิดเบือนไป เพราะตัวท่อตรวจวัด เพื่อหาตำแหน่งจริงของปลายท่อตรวจวัดจากผิวขั้นทดสอบ จะต้องนำเอาโลหะท่อนหนัก มากางให้ผิวโลหะอยู่ที่ตำแหน่งของผิวขั้นทดสอบ ค่าต่ำสุดอันแรกจะอยู่ห่างจากผิวโลหะเป็นระยะเศษหนึ่งส่วนสี่ของความยาวคลื่นและค่าต่ำสุดตัวถัดไปจะอยู่ห่างกันเป็นระยะครึ่งหนึ่งของความยาวคลื่น หรือคำนวณจากสมการ

$$X_0 = X_1 - (X_2 - X_1)/2 \quad (4)$$

เมื่อ X_0 คือ ตำแหน่งของผิวขั้นทดสอบ X_1 และ X_2 คือตำแหน่งของค่าต่ำสุดตัวที่หนึ่งและสองตามรูปที่ 2

ถ้าให้จุดเริ่มต้นของพิกัด x อยู่ที่ผิวขั้นทดสอบและมีทิศทางบวกไปในแนวของคลื่นต่ำระหบ ถ้าความต่างเฟสของคลื่นต่ำระหบและคลื่นสะท้อน เท่ากับ θ ที่ $x = 0$ ความดันของคลื่นต่ำระหบและคลื่นสะท้อน เอียงได้เป็น [3]

$$p_i = A e^{j(\omega t - kx)} \text{ และ } p_r = B e^{j(\omega t - kx + \theta)} \quad (5)$$

เมื่อ $j = \sqrt{-1}$, $\omega = 2\pi f$, k คือตัวเลขคลื่น (wave number)
ความดันเสียงรวม จะเอียงได้เป็น

$$p_t = p_i + p_r \quad (6)$$

ความดันสูงสุดอันแรก จะเกิดขึ้นเมื่อ $\theta = -2kx$ และค่าต่ำสุดแรกจะเกิดเมื่อ $\theta = -2kx + \pi$ ดังนั้น $p_{max} = e^{-jkx}(A+B)$ และ $p_{min} = e^{-jkx}(A-B)$ อัตราส่วนของความดันสูงสุดต่อด้วยความดันต่ำสุด คือ $(A+B)/(A-B)$ อัตราส่วนคลื่นยืน L_0 คือ ผลต่างในหน่วย dB ระหว่างความดันเสียงสูงสุดและต่ำสุดในคลื่นยืนซึ่งเอียงได้เป็น

$$10^{L_0/20} = \frac{A+B}{A-B} \quad (7)$$

และ แอมพลิจูด ของสัมประสิทธิ์ของการสะท้อนความดัน (pressure reflection coefficient) ยกกำลังสอง เอียงได้เป็น

$$|R_p|^2 = \left(\frac{B}{A} \right)^2 = \left[\frac{10^{L_0/20} - 1}{10^{L_0/20} + 1} \right]^2 \quad (8)$$

สัมประสิทธิ์การดูดซับเสียง

$$\alpha_0 = 1 - |R_p|^2 \quad (9)$$

3.2 อัตราส่วนความหน่วงเหนี่ยว

ความเร็วรวมของอนุภาค (total particle velocity) เขียนได้เป็น

$$u_t = \frac{1}{\rho c} (p_i - p_r) \quad (10)$$

เมื่อ ρ คือ ความหนาแน่นของอากาศ

ความหน่วงเหนี่ยวทางเสียงจำเพาะ (specific acoustic impedance) ที่จุดใดๆ ในท่อเขียนได้เป็น

$$Z_S = \frac{p_t}{u_t} = \rho c \frac{A + Be^{j(2kx+\theta)}}{A - Be^{j(2kx+\theta)}} \quad (11)$$

ที่ $x = 0$ ความหน่วงเหนี่ยวจำเพาะที่ผิวชั้นทดสอบ Z_N ในรูปอัตราส่วน ความหน่วงเหนี่ยว จะเป็น

$$\frac{Z_N}{\rho c} = \frac{A + Be^{j\theta}}{A - Be^{j\theta}} \quad (12)$$

เมื่อรายจ่ายพจน์ออกไปจะได้

$$\frac{Z_N}{\rho c} = \frac{(A/B)^2 - 1 + (2A/B)j \sin \theta}{(A/B)^2 + 1 - (2A/B) \cos \theta} \quad (13)$$

ในทางปฏิบัติเราจะใช้สมการ [2] ต่อไปนี้

$$K_0 = 10^{L_0/20} \quad (14)$$

$$M = \frac{1}{2} [K_0 + (1/K_0)] \quad (15)$$

$$N = \frac{1}{2} [K_0 - (1/K_0)] \quad (16)$$

$$\phi = 360^\circ \left[\frac{D_1}{D_2} - \frac{1}{2} \right] \quad (17)$$

เมื่อ D_1 คือ ระยะจากผิวชั้นทดสอบ ถึงค่าต่ำสุดที่แก้วที่สุดในคลื่นยืน และ D_2 คือ ระยะจากค่าต่ำสุดแรก ถึงค่าต่ำสุดที่สองในคลื่นยืน

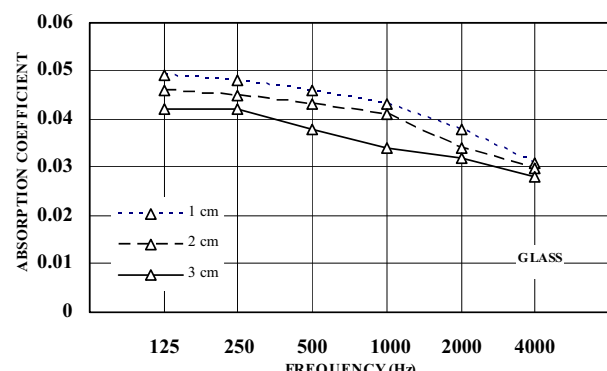
$$\frac{Z_N}{\rho c} = \frac{R}{\rho c} + j \frac{X}{\rho c} \quad (18)$$

$$\frac{R}{\rho c} = \frac{1}{M - N \cos \phi} \quad (19)$$

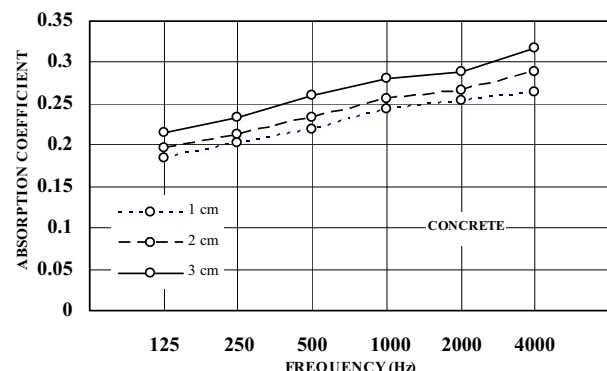
$$\frac{X}{\rho c} = \frac{R}{\rho c} N \sin \phi \quad (20)$$

4. ผลการทดลอง

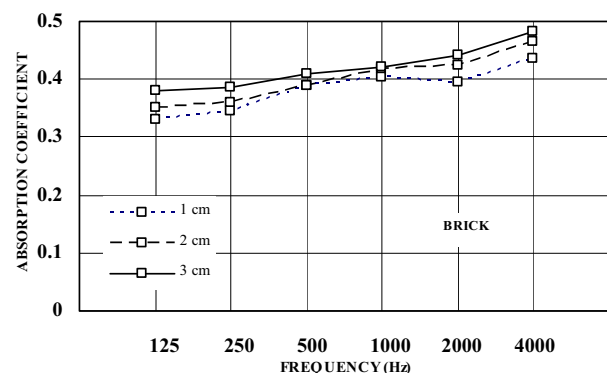
จากชุดคุณภาพที่ออกแบบและสร้างขึ้น ภายหลังติดตั้งชุดเครื่องมือแล้ว ได้ทำการวัดและคำนวณค่าสัมประสิทธิ์การดูดซับเสียง α_0 ตามสมการที่ (9) และอัตราส่วนความหน่วงเหนี่ยว $Z_N/\rho c$ ตามสมการที่ (18) เพื่อทำการเก็บข้อมูลติบต่ำหรับชั้นทดสอบที่เลือกไว้ โดยจะพิจารณาค่าทั้งสองสัมพันธ์กับความถี่ octave band center ที่ 125, 250, 500, 1000, 2000, และ 4000 Hz รูปที่ 3, 4, และ 5 แสดงความสัมพันธ์ระหว่างสัมประสิทธิ์การดูด



รูปที่ 3 ความสามารถดูดซับเสียงของแก้วที่ความหนาต่างๆ

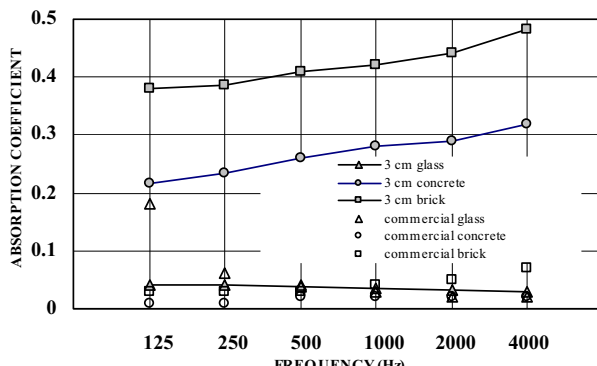


รูปที่ 4 ความสามารถดูดซับเสียงของคอนกรีตที่ความหนาต่างๆ



รูปที่ 5 ความสามารถดูดซับเสียงของอิฐที่ความหนาต่างๆ

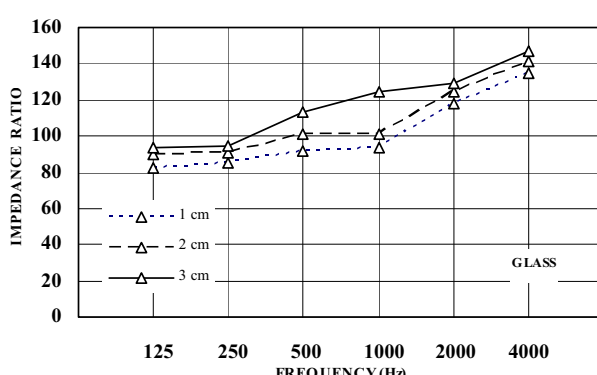
ชั้บเสียงกับความถี่ สำหรับ แก้ว คอนกรีต และ อิฐ ที่ความหนา 1, 2, และ 3 ซม ตามลำดับ ปรากฏว่า อิฐจะมีความสามารถในการดูดซับเสียงดีที่สุด เนื่องจากมีรูพรุนมาก ซึ่งตรงกันข้ามกับแก้วตามตารางที่ 1 คอนกรีตและอิฐจะดูดซับได้ดีเมื่อความถี่สูงขึ้น โดยเพิ่มขึ้นเกือบจะเป็นเส้นตรงที่ความถี่เดียวกัน ยิ่งความหนามากจะดูดซับได้มากกว่า



รูปที่ 6 การเปรียบเทียบความสามารถดูดซับเสียง

สำหรับแก้วการดูดซับเสียงจะค่อยๆ น้อยลงเมื่อเพิ่มความถี่ เนื่องจากแก้วจะสะท้อนเสียงได้มากขึ้น ในทำนองเดียวกัน ที่ความถี่เดียวกันแก้วบางจะดูดซับได้มากกว่า เพาะสะท้อนกลับได้น้อย รูปที่ 6 แสดงการเปรียบเทียบสัมประสิทธิ์การดูดซับเสียงระหว่างวัสดุที่ทดลองและวัสดุที่ได้จากการแหล่งข้อมูลในห้องทดลอง ปรากฏว่าวัสดุชนิดเดียวกันจะมีแนวโน้มคล้ายกัน เนื่องจากส่วนผสมของอิฐและคอนกรีตที่นำมาเปรียบเทียบกันไม่เป็นที่ชัดเจน ผลที่ได้จึงแตกต่างกันมาก แต่แก้วซึ่งส่วนผสมคงไม่แตกต่างกันมากจะให้ค่าที่ใกล้เคียงกัน

รูปที่ 7, 8, และ 9 แสดงความสัมพันธ์ระหว่างอัตราส่วนความหน่วง



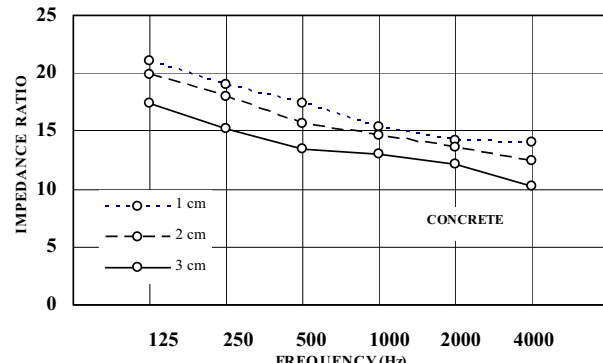
รูปที่ 7 ความหน่วงเหนี่ยวของแก้วที่ความหนาต่างๆ

ตารางที่ 1 ค่าเฉลี่ยของลักษณะสมบัติของวัสดุต่างๆ

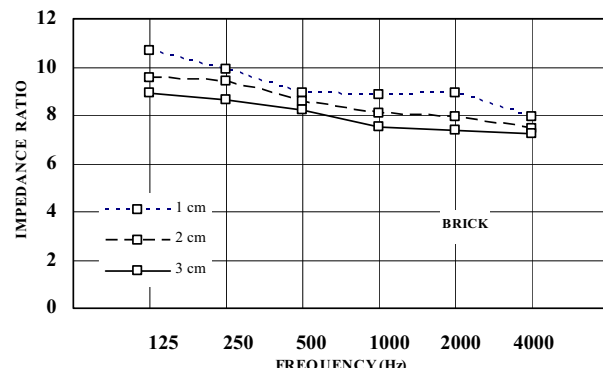
ลักษณะสมบัติ	แก้ว	คอนกรีต	อิฐ
สัมประสิทธิ์การดูดซับเสียง	0.04	0.25	0.4
อัตราส่วนความหน่วงเหนี่ยว	110	15	9

เหนี่ยว กับความถี่ สำหรับ แก้ว คอนกรีต และ อิฐ ที่ความหนา 1, 2, และ 3 ซม ตามลำดับ ปรากฏว่า แก้วจะกันเสียงส่งผ่านได้ดีที่สุด ดู

ตารางที่ 1 ผลที่ได้ในกรณีความหน่วงเหนี่ยวจะกลับกันกับการดูดซับเสียงที่กล่าวไปข้างต้น



รูปที่ 8 ความหน่วงเหนี่ยวของคอนกรีตที่ความหนาต่างๆ



รูปที่ 9 ความหน่วงเหนี่ยวของอิฐที่ความหนาต่างๆ

5. บทสรุป

การหาสัมประสิทธิ์การดูดซับเสียงด้วยวิธีแบบท่อคู่ลีนเย็นเป็นวิธีที่ประยุกต์และสะดวกวิธีหนึ่ง ถึงแม้คลินเนสเสียงที่ตกรอบจะมีเฉพาะในแนวตั้งจากกับผิววัสดุชนิดทดสอบ ผลที่ได้ไว้ก็ให้ค่าที่น่าไปใช้ได้ ในกรณีที่เรามีวัสดุที่ไม่ทราบความสามารถดูดซับเสียง จึงมีความจำเป็นอย่างยิ่งต้องทำการค้นหาโดยการทดลองเอง

เอกสารอ้างอิง

- [1] Barnard, A.R., and Rao, M.D., 2004. A comparison of acoustic absorption coefficient measurements from the in-situ method with traditional methods. NOISE-CON 2004, Baltimore, Maryland, July 12-14.
- [2] ASTM C384-90a, 1990. Standard test method for impedance and absorption of acoustical materials by the impedance tube method. The American Society for Testing and Materials, Vol. 04.06, pp. 100-110.
- [3] Bies, D.A., and Hansen, C.H., 2003. Engineering noise control: theory and practice. 3rd ed., Spon Press, London.